

О. В. РУДЕНКО, С. И. СОЛУЯН, Р. В. ХОХЛОВ

К ТЕОРИИ ВОЛН КОНЕЧНОЙ АМПЛИТУДЫ В ДИССИПАТИВНОЙ СРЕДЕ

На основе приближенных уравнений гидродинамики, приведенных к сопровождающей системе координат, рассмотрено распространение достаточно сильных волн конечной амплитуды с сохранением в уравнениях малых членов третьего порядка малости. Полученные решения позволили аналитически установить несимметрию в искажении волн и наличие постоянного течения в направлении распространения волны при одновременном учете нелинейных и диссипативных эффектов.

Всестороннее изучение акустических волн конечной амплитуды на основе уравнений второго приближения позволило установить такие эффекты, как возникновение, нарастание и спад гармоник, возникновение квазиударных фронтов и их «рассасывание». Были определены профили различных волн конечной амплитуды, изменяющиеся по мере распространения возмущений в системе. При этом изучались и обычные гидродинамические среды, и среды с релаксацией, и твердые тела. Все эти и другие вопросы изложены в монографии Л. К. Зарембо и В. А. Красильникова [1]. Следует отметить хорошее совпадение теоретических и экспериментальных результатов в рамках «второго приближения».

В предлагаемой работе рассмотрено распространение волн конечной амплитуды с учетом эффектов третьего порядка малости. Такое рассмотрение позволяет установить факт несимметричного искажения волн и наличие постоянного течения в направлении распространения волны.

Полная система уравнений, описывающих распространение волн конечной амплитуды в вязкой, теплопроводящей среде, состоит из уравнения непрерывности

$$\frac{\partial \rho}{\partial t} + \frac{\partial}{\partial x} (\rho v) = 0, \quad (1)$$

уравнения движения

$$\rho \frac{\partial v}{\partial t} + \rho v \frac{\partial v}{\partial x} = - \frac{\partial P}{\partial x} + \sigma \frac{\partial^2 v}{\partial x^2} \quad (2)$$

и приближенного уравнения состояния

$$P = P_0 + c_0^2 \rho' + \frac{(\gamma - 1) c_0^2}{2 \rho_0} \rho'^2 + \frac{(\gamma - 1)(\gamma - 2) c_0^2}{6 \rho_0^2} \rho'^3. \quad (3)$$

Здесь v — скорость волны, $\rho' = \rho - \rho_0$ — отклонение плоскости от равновесного значения ρ_0 , P — давление, $c_0 = (\gamma P_0 / \rho_0)^{1/2}$ — скорость звука, $\sigma = \frac{4}{3} \eta + \zeta + \kappa \left(\frac{1}{C_V} - \frac{1}{C_P} \right)$ — диссипативный коэффициент, учитывающий сдвиговую и объемную вязкость η и ζ , теплопроводность κ , C_V и C_P — удельные теплосемкости при постоянных объеме и давлении. Коэффициент $\gamma = C_P / C_V$ для газов и $\gamma = 1 + \left(\frac{\partial c^2}{\partial \rho} \right) \frac{\rho_0}{c_0^2}$ для жидкостей.

Принимая, как обычно, диссипативный коэффициент σ , а также возмущения скорости, плотности и давления за малые величины первого порядка малости, ограничимся рассмотрением эффектов, имеющих место при больших числах Рейнольдса. В предположении медленного изменения профиля волны при ее распространении в системе введем сопровождающую систему координат $\tau = t - \frac{x}{c_0}$ и $z = \mu x$, где μ — малый параметр первого порядка малости, учитывающий факт медленного искажения. Переходя к координатам τ, z после исключения P из уравнения (2) с помощью уравнения (3), получим с точностью до членов $\sim \mu^3$

$$\frac{1}{\rho_0} \left(1 - \frac{v}{c_0} \right) \frac{\partial \rho'}{\partial \tau} + \frac{v}{\rho_0} \frac{\partial \rho'}{\partial z} - \frac{1}{c_0} \left(1 + \frac{\rho'}{\rho_0} \right) \frac{\partial v}{\partial \tau} + \left(1 + \frac{\rho'}{\rho_0} \right) \frac{\partial v}{\partial z} = 0. \quad (4)$$

$$\left(1 + \frac{\rho'}{\rho_0} \right) \left(1 - \frac{v}{c_0} \right) \frac{\partial v}{\partial \tau} + v \frac{\partial v}{\partial z} = \frac{\sigma}{c_0^2 \rho_0} \frac{\partial^2 v}{\partial \tau^2} - \frac{2\sigma}{c_0 \rho_0} \frac{\partial^2 v}{\partial z \partial \tau} \quad (5)$$

$$+ \frac{c_0}{\rho_0} \left[1 + (\gamma - 1) \frac{\rho'}{\rho_0} + \frac{(\gamma - 1)(\gamma - 2)}{2} \left(\frac{\rho'}{\rho_0} \right)^2 \right] \frac{\partial \rho'}{\partial \tau} -$$

$$- \frac{c_0^2}{\rho_0} \left[1 + (\gamma - 1) \frac{\rho'}{\rho_0} \right] \frac{\partial \rho'}{\partial z}.$$

Умножив уравнение (4) на $c_0 \left(1 - \frac{v}{c_0} \right)$, после сложения полученного уравнения с уравнением (5) и замены в малых членах второго порядка малости v на ρ' на основе самосогласованных выражений, полученных в работе [2] $\frac{v}{c_0} = \frac{\rho'}{\rho_0} + \frac{\gamma - 3}{4} \left(\frac{\rho'}{\rho_0} \right)^2 + \frac{\sigma}{2c_0^2 \rho_0^2} \frac{\partial \rho'}{\partial \tau}$, найдем

$$\left[1 + \frac{3\gamma - 1}{4} \frac{\rho'}{\rho_0} \right] \frac{\partial \rho'}{\partial z} + \left[-\frac{\gamma + 1}{2c_0} \frac{\rho'}{\rho_0} - \frac{(\gamma + 1)(\gamma - 3)}{4c_0} \left(\frac{\rho'}{\rho_0} \right)^2 \right] \frac{\partial \rho'}{\partial \tau} =$$

$$= \frac{\sigma}{2c_0^3 \rho_0} \left[1 + \frac{\gamma - 3}{2} \frac{\rho'}{\rho_0} \right] \frac{\partial^2 \rho'}{\partial \tau^2} - \frac{5\sigma}{4c_0^2 \rho_0} \frac{\partial^2 \rho'}{\partial z \partial \tau} + \frac{(\gamma - 1)\sigma}{4c_0^3 \rho_0^2} \left(\frac{\partial \rho'}{\partial \tau} \right)^2. \quad (6)$$

Аналогичные преобразования приводят ко второму уравнению

$$\left[1 + \frac{\gamma + 5}{4} \frac{v}{c_0} \right] \frac{\partial v}{\partial z} + \left[-\frac{\gamma + 1}{2c_0} \frac{v}{c_0} + \frac{(\gamma + 1)(\gamma - 3)}{8c_0} \left(\frac{v}{c_0} \right)^2 \right] \frac{\partial v}{\partial \tau} =$$

$$= \frac{\sigma}{2c_0^3 \rho_0} \left[1 - \frac{\gamma + 1}{2} \frac{v}{c_0} \right] \frac{\partial^2 v}{\partial \tau^2} - \frac{3\sigma}{4c_0^2 \rho_0} \frac{\partial^2 v}{\partial z \partial \tau} - \frac{\sigma(\gamma - 1)}{4c_0^4 \rho_0} \left(\frac{\partial v}{\partial \tau} \right)^2. \quad (7)$$

Полезно провести сравнение уравнений (6) и (7) с уравнением (26) работы [2]. В пренебрежении малыми членами третьего порядка малости эти уравнения оказываются одинаковыми и совпадают с уравнением

(26). Отличие в уравнениях, описывающих медленные изменения профилей скорости и плотности звуковой волны, сказывается только в третьем приближении, когда волны перестают быть простыми. Сведение уравнений (6) и (7) к одинаковому виду на основе самосогласованных выражений следующего приближения невозможно. Это связано с тем, что в третьем приближении формы волн скорости и плотности уже различаются.

Точное решение уравнения (6), точно так же, как и уравнения (7), не может быть получено аналитически, поэтому проведем поэтапное рассмотрение процесса, предполагая, что на входе системы задано крайнее условие: при $z=0$ $\rho' = \rho'_0 \sin \omega t$. Тогда, как это принято в случае больших чисел Рейнольдса [3], на первом этапе распространения волны конечной амплитуды можно пренебречь диссипативными эффектами, опустив члены, стоящие справа в уравнении (6). Получающиеся таким способом уравнения в методе поэтапного упрощения принято называть упрощенными. Решение упрощенного уравнения с точностью до малых величин третьего порядка малости имеет вид

$$\omega t = \arcsin \frac{\rho'}{\rho'_0} - \frac{\gamma + 1}{2c_0 \rho_0} \omega z \rho'_0 \left(\frac{\rho'}{\rho'_0} \right) + \frac{(\gamma + 1)(\gamma + 5)}{8c_0 \rho_0^2} \omega z \rho_0'^2 \left(\frac{\rho'}{\rho'_0} \right)^2. \quad (8)$$

Решение (8), анализ которого удобнее всего провести графически, уже указывает на несимметричный характер искажения профиля волны. Отложим, как показано на рисунке 1, а, по оси абсцисс значение ρ'/ρ'_0 , а по оси ординат значение ωt . Как видим, волновой профиль, в соответствии с формулой (8), представляет собой сумму трех функций: арксинуса, прямой и параболы. При этом тангенс угла наклона прямой увеличивается по мере распространения волны от источника, и это возрастание пропорционально z и амплитудному значению плотности волны на входе системы. Аналогичную зависимость по z обнаруживает и парабола с той лишь разницей, что здесь эффекты сказываются в следующем порядке малости — пропорциональности квадрату амплитуды волны на входе системы. На рис. 1, б представлена сумма всех трех функций, дающих профиль волны на некотором расстоянии z от входа системы. Этот профиль сформирован из первоначально синусоидальной волны и может быть построен на любом удалении от источника вплоть до точки формирования разрыва, когда функция становится многозначной.

На основе метода поэтапного упрощения эта вторая область распространения волны может быть исследована с помощью вспомогательной задачи о распространении одиночного стационарного скачка плотности в среде, т. е. мы ограничиваемся исследованием стационарного решения уравнения (6), когда производной по z можно пренебречь.

Упрощенное уравнение имеет вид

$$-\frac{\gamma + 1}{2c_0} \frac{\rho'}{\rho_0} \frac{d\rho'}{d\tau} - \frac{\sigma}{2c_0^3 \rho_0} \frac{d^2 \rho'}{d\tau^2} = \frac{\gamma - 1}{4} \frac{\sigma}{c_0^3 \rho_0^2} \left(\frac{d\rho'}{d\tau} \right)^2. \quad (9)$$

В отличие от аналогичного уравнения второго приближения (2), правая часть уравнения (9) не равна нулю. Решение последнего существует лишь при условии несимметричного скачка, и эта несимметрия сказывается в следующем порядке малости, т. е.

$$\rho' = \rho'_0 \text{ при } \tau \rightarrow +\infty, \quad \rho' = -\rho'_0 + \Delta \text{ при } \tau \rightarrow -\infty,$$

где

$$\Delta \simeq -\frac{\gamma - 1}{3} \rho_0 \left(\frac{\rho'_0}{\rho_0} \right)^2. \quad (10)$$

На рисунке 2 построен профиль одиночного скачка плотности на основе аналитического решения уравнения (9). Приведенный скачок плотности — квазистационарный фронт волны — распространяется без искажения со скоростью c_0 , что при наличии несимметрии эквивалентно появлению постоянного течения в направлении распространения волны.

Действительно, вводя вместо $\tau = t - \frac{x}{c_0}$ новую сопровождающую координату $\tau' = t - \frac{x}{c_0 + \delta c_0}$, где коэффициент δ характеризует приращение скорости распространения волны, можно получить вместо (9) уравнение следующего вида:

$$-\frac{\gamma+1}{2c_0} \frac{\rho'}{\rho_0} \frac{d\rho'}{d\tau'} - \frac{\sigma}{2c_0^3 \rho_0} \frac{d^2 \rho'}{d\tau'^2} = \frac{\gamma-1}{4} \frac{\sigma}{c_0^3 \rho_0^2} \left(\frac{d\rho'}{d\tau'} \right)^2 - \frac{\delta}{c_0} \frac{d\rho'}{d\tau'}. \quad (11)$$

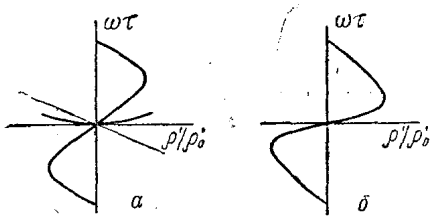


Рис. 1

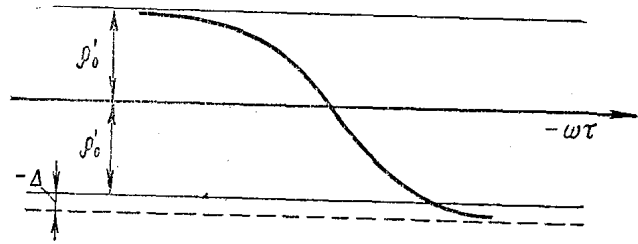


Рис. 2

Уравнение (11) по сравнению с уравнением (9) содержит дополнительный член, позволяющий найти решение, удовлетворяющее симметричному профилю волны. Такое решение возможно при значении коэффициента

$$\delta = \frac{\gamma^2 - 1}{12} \left(\frac{\rho'_0}{\rho_0} \right)^2. \quad (12)$$

Следовательно, достаточно интенсивный симметричный одиночный стационарный скачок распространяется со скоростью, превышающей скорость звука, и это приращение скорости пропорционально квадрату акустического числа Маха. Качественная оценка изменения скорости распространения фронта волны проводилась Г. А. Остроумовым [4] формула (1.5.7). Однако при вычислении скорости фронта в работе [4] использовались соотношения, справедливые для простых волн. Квадратичные поправки в формуле (1.5.7) определены благодаря учету малых членов третьего порядка малости по числу Маха. Естественно, формула (12) не согласуется с формулой (1.5.7), поскольку в последней не учтены отраженные от поверхностей разрыва волны, сказывающиеся именно в третьем порядке малости.

Используя ранее найденное значение амплитуды отраженной волны формула (24) работы [5], дополним в третьем приближении римановские соотношения для простой волны:

$$\begin{aligned} \frac{\rho'_2}{\rho_0} &= M_0 - \frac{(\gamma+1)^2}{24} M_0^3, \\ \frac{v_2}{c_0} &= M_0 \left[1 + \frac{\gamma-3}{4} M_0 + \frac{(\gamma-3)(\gamma-5)}{24} M_0^2 \right] + \frac{(\gamma+1)^2}{24} M_0^3, \\ \frac{\rho'_1}{\rho_0} &= -M_0, \quad \frac{v_1}{c_0} = -M_0 \left[1 - \frac{\gamma-3}{4} M_0 + \frac{(\gamma-3)(\gamma-5)}{24} M_0^2 \right]. \end{aligned} \quad (13)$$

Здесь $M_0 = \rho_0' / \rho_0$, индексом 1 помечены величины, относящиеся к точке, находящейся непосредственно перед фронтом волны, а индексом 2 — к точке непосредственно за фронтом. Поэтому отраженная от поверхности разрыва волна включена в первые два из приведенных выше соотношений.

Определяя скорость фронта с помощью разложений (13), найдем

$$u_\phi = \frac{\rho_0(v_2 - v_1) + \rho_2'v_2 - \rho_1'v_1}{\rho_2' - \rho_1'} = c_0 \left[1 + \frac{\gamma^2 - 1}{12} \left(\frac{\rho_0'}{\rho_0} \right)^2 \right]. \quad (14)$$

Таким образом, приращение скорости фронта оказалось численно равным значению δ формула (12), несмотря на принципиально различный подход. Следует отметить, что квазистационарное решение, дающее структуру фронта (эта формула не приведена в статье), остается справедливым и для предельного перехода $\sigma \rightarrow 0$, однако такой предельный переход в исходных уравнениях (6), (7) неправомерен, поскольку приводит к неоднозначным результатам. Действительно, полагая, например, $\sigma \sim \mu^2$, при переходе к упрощенному уравнению можно все члены уравнений (6), (7) умножить на выражение вида $1 + A \frac{v}{c_0}$, где A — кон-

станта. При этом изменится нелинейная часть упрощенного уравнения, тогда как диссипативная часть останется без изменений. Эта неоднозначность устраняется как раз благодаря удержанию малых членов третьего порядка малости по диссипации.

В работе [5] были найдены соотношения, связывающие значения гидродинамической скорости v и возмущения плотности ρ' в ступенькообразной симметричной ударной волне (1), (2). Эти соотношения неявным образом учитывают наличие отраженной волны. Подставляя соотношение (1) в выражение для скорости фронта, после несложных преобразований приходим к результату, точно совпадающему с формулой (14).

Итак, при вычислении постоянной составляющей скорости оба метода дают совпадающие результаты и полностью согласуются с тем амплитудным значением отраженной волны, которое по результатам работы [5] явно учтено в разложениях (13). Приращение скорости представляет собой акустический ветер, имеющий место при распространении одиночного стационарного скачка и являющийся следствием нелинейного самовоздействия волны.

Возвращаясь к волне синусоидального профиля, можно было бы все разрывные участки волны заменить гладкой функцией, представленной на рис. 2. Однако, в отличие от задачи второго приближения, когда положение фронта однозначно определяется по равенству площадей, в настоящей работе такое построение неправомерно. Равенство площадей не выполняется, и в соответствии с квазистационарным решением фронт волны оказывается смещенным. Синусоидальная волна во второй области распространения может быть качественно представлена так, как это показано на рис. 3. Такое построение проведено на основе «сшивания»

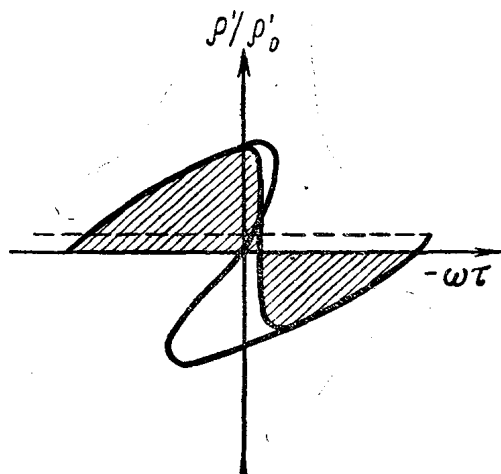


Рис. 3

решений для первой и второй областей распространения волны. Пунктирной линией отмечена постоянная составляющая плотности. Это постоянное течение, существующее в области распространения волны, естественно, затухает по мере ослабления звуковых возмущений, когда эффекты третьего порядка малости пренебрежимо малы. Волновые профили становятся симметричными, и при последующем рассасывании фронтов волна вновь превращается в синусоидальную на расстоянии, не зависящем от амплитуды сигнала на входе системы [2].

Постоянное течение, найденное во вспомогательной задаче для одиночного стационарного скачка и не зависящее от z при переходе к периодическим возмущениям, обращается в нуль на конечном расстоянии от излучателя. Это расстояние определяется диссипативными свойствами среды. Число фронтов, участвующих в формировании отраженных волн, $n \approx Re/M$. Процесс формирования течения рассматривался в работе [5]. С учетом диссипативных свойств среды интеграл в формуле (26) работы [5] берется в конечных пределах, и скорость постоянного течения обращается в нуль при значении безразмерной координаты $z \approx Re$.

Таким образом, учет малых членов третьего порядка малости в исходных уравнениях позволил установить несимметрию в искажении волн и получить постоянное течение, звуковой ветер для значений числа $Re \gg 1$. В рамках одномерной задачи излучатель следует считать абсолютно проницаемым для отраженных волн.

ЛИТЕРАТУРА

1. Зарембо Л. К., Красильников В. А. Введение в нелинейную акустику. М., «Наука», 1966.
2. Солуян С. И., Хохлов Р. В. «Вестн. Моск. ун-та», физ., astron., № 3, 52—61, 1961.
3. Khokhlov R. V., Soluyan S. I. *Acustica*, 14, 242—247, 1964.
4. Остроумов Г. А. Основы нелинейной акустики. Изд-во Ленинград. ун-та, 1967.
5. Руденко О. В., Солуян С. И., Хохлов Р. В. «Акустический журнал», № 3, 414—420, 1969 г.

Поступила в редакцию
12.11 1968 г.

Кафедра
волновых процессов